

Chapter1 神经元和数学方法

黄志权

2023 年 5 月 27 日

目录

第一章 LIF 模型 (Leaky-Integrate-and-fire models)	1
1.1 膜电压 $u(t)$ 演变的线性微分方程推导	1
1.2 输入电流为周期性驱动及其傅里叶变换	6
1.3 LIF 模型的局限性	7
1.4 总结	8

第一章 LIF 模型

(Leaky-Integrate-and-fire models)

神经元的动力模型可以被简化为：树突接收若干的脉冲信号，并积累到细胞膜上，致使细胞膜电压改变，从而产生动作电位。LF 模型则是将动作电位描述成事件的模型。

1.1 膜电压 $u(t)$ 演变的线性微分方程推导

对于神经元细胞，我们可以将其想象为如下的 RC 电路。细胞膜就像是一个与电阻并联的电容器，而电阻连接着一个电压为 u_{rest} 电池。当没有外界输入时，膜电压 $u(t)$ 为初始值 u_{rest} ；当有外界脉冲输入时，相当于给电容提供电流为 $I(t)$ 的充电，从而改变膜电压 $u(t)$ 。//PS: 这个电阻也被称为漏电阻。由于在没有外界输入时，膜上电荷会逐渐穿过细胞膜泄露出去，让膜电压回归 u_{rest} ，因此引入一个漏电阻来模拟这种现象。

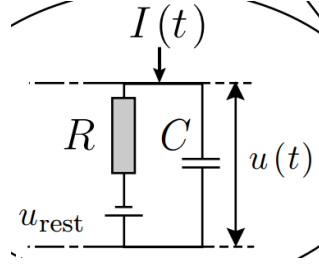


图 1.1: 细胞膜等效电路

考虑 $I(t)$ 不为零的情况, 即有外界输入时, 来分析膜电压的变化。首先总电流由并联电路支电流和组成 $I(t) = I_r + I_C$ 。即:

$$I(t) = \frac{u(t) - u_{rest}}{R} + C \frac{du(t)}{dt} \quad (1.1)$$

模仿电路分析, 定义膜时间常数 (membrane time constant) $\tau_m = RC$ 。从而可以得到 $u(t)$ 的线性微分方程:

$$\tau_m \frac{du(t)}{dt} = -[u(t) - u_{rest}] + RI(t) \quad (1.2)$$

上式在电路分析中称为 RC 电路响应方程, 在神经科学领域称为无源膜方程 (equation of a passive membrane)。这个方程的解分为两个部分。即输入脉冲的充电过程 (零状态响应), 和没有输入脉冲, 电压泄露到 u_{rest} 的过程 (零状态响应)。首先是输入脉冲的充电过程 (零状态响应), 我们假设输入电流脉冲在 t_0 时刻是一个幅值为 I_{max} 的方波, 则其方程如下:

$$u(t) = u_{rest} + I_{max}R(1 - e^{-\frac{t-t_0}{\tau_m}}) \quad (1.3)$$

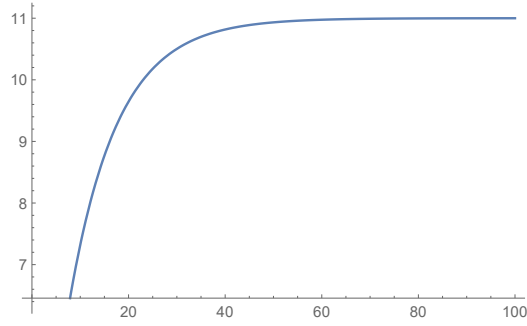


图 1.2: 脉冲充电图

然后是电压泄露到 u_{rest} 的过程（零状态响应），假设脉冲在 t_1 时刻结束：

$$u(t) = u_{rest} + \Delta u Re^{-\frac{t-t_1}{\tau_m}} \quad (1.4)$$

$$\Delta u = u(0) - u_{rest}$$

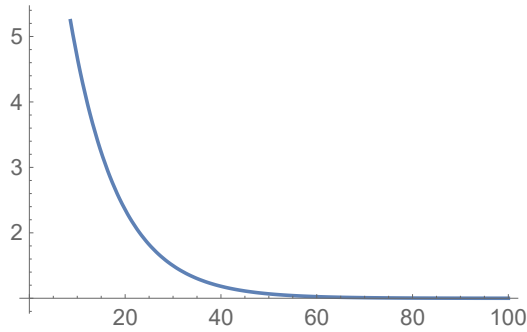


图 1.3: 脉冲放电图

从而，当没有外部脉冲输入的情况下，膜电压会以指数形式衰减到 u_{rest} 。其衰减时间系数 τ_m 一般为 10ms，与一般持续 1ms 的尖峰脉冲相比长了很多。

我们可以绘制对于方波输入，膜电压的变化图。我一开始打算利用解析解来绘制，但是发现分段条件太难设置了。因此我选择使用微分方程 1.2来

模拟，这样子写成递归函数，会非常简便好看。代码和仿真图如下：

```
1 def U(t_scale, tou, u_t_1, I, R, u_rest):
2     return -(u_t_1 - u_rest) + R*I)/tou*t_scale + u_t_1
```

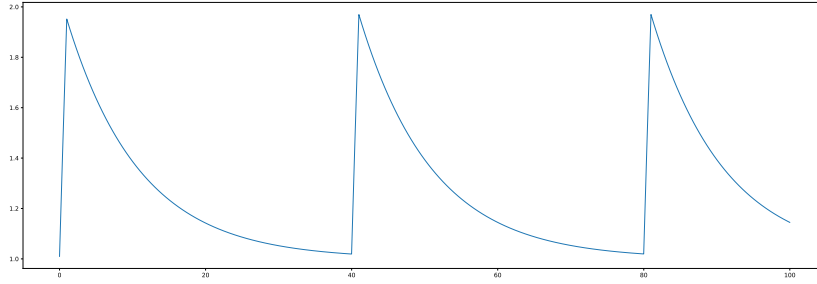


图 1.4: 方波输入响应图

接下来，考虑输入电流 $I(t)$ 为一个持续时间为 Δ 的一个非常短的脉冲。其膜电压轨迹由 1.3 改写得： $u(\Delta) = u_{rest} + I_{max}R(1 - e^{-\frac{\Delta}{\tau}})$ 。对 e 指数函数做泰勒展开，由于 Δ 已经很小了，因此只需考虑其一阶情况即可：

$$u(\Delta) = u_{rest} + I_{max}R\frac{\Delta}{\tau_m} \quad for \Delta \ll \tau_m \quad (1.5)$$

然后我们把 Δ 推至无穷小，并 $I(t)$ 变形为一个 δ 函数。从而得到一个总电量 $q = I_0\Delta$ 不变的脉冲。将 $q = I_0\Delta$ 以及 $\tau_m = RC$ 代入上式可得：

$$u(\Delta) = u_{rest} + \frac{q}{C} \quad (1.6)$$

然后，可以得到输入脉冲结束后电压泄露到 u_{rest} 的过程。将上式带入 1.4，可得：

$$u(t) = u_{rest} + \frac{q}{C}e^{-\frac{t-t_0}{\tau_m}} \quad (1.7)$$

从而可以发现, 非常窄电流脉冲输入等价于给细胞膜增加了一个 $\frac{q}{C}$ 的电压。当膜电压高于阈值时, 会发射一个脉冲, 然后膜电压被重置为 u_r , 一定要注意, $u_r \neq u_{rest}$, 而是比 u_{rest} 要低一些。记在 t^f 时刻发射了脉冲。那么发射脉冲序列可以用狄拉克求和表示:

$$S(t) = \sum \delta(t - t^f) \quad (1.8)$$

前面 1.3 和 1.4 零状态响应和零输入响应描述的都是 $I(t)$ 为恒定状态的情况。下面考虑 $I(t)$ 为连续的变化信号的情况。由于离散的电流 I 输入实质上是给细胞膜引入一个 $\Delta u = \frac{q}{C} = IR$ 的电压变化, 因此连续变化的 $I(t)$ 输入即公式 1.7 与 $I(t)$ 的卷积:

$$\begin{aligned} u(t) &= u_{rest} + \frac{q}{C} e^{-\frac{t}{\tau_m}} \\ &= u_{rest} + IR e^{-\frac{t}{\tau_m}} \\ &= u_{rest} + RI(t) \otimes e^{-\frac{t}{\tau_m}} \\ &= u_{rest} + R \int_0^{+\infty} I(t-s) e^{-\frac{s}{\tau_m}} d\frac{s}{\tau_m} \\ &= u_{rest} + \frac{R}{\tau_m} \int_0^{+\infty} I(t-s) e^{-\frac{s}{\tau_m}} ds \end{aligned} \quad (1.9)$$

上面的式子相当于把输入电流分成无数多小的脉冲, 每一个脉冲都会产生 $\Delta u e^{-\frac{t}{\tau_m}}$ 的膜电压变化, 然后全部积分起来。那么, 同理, 我们也可以用同样的方式描述发射脉冲的过程。发射一个脉冲, 等价于膜上减少了 $\vartheta - u_r$ 的电压, 考虑到发射脉冲是离散的, 因此我们可以表示为:

$$\sum_f -(\vartheta - u_r) e^{-\frac{t-t^f}{\tau_m}} \quad (1.10)$$

因此, 描述 LF 整个输入-输出的膜电压函数为:

$$u(t) = u_{rest} + \sum_f -(\vartheta - u_r) e^{-\frac{t-t^f}{\tau_m}} + \frac{R}{\tau_m} \int_0^{+\infty} I(t-s) e^{-\frac{s}{\tau_m}} ds \quad (1.11)$$

1.2 输入电流为周期性驱动及其傅里叶变换

下面我们分析输入电流 $I(t)$ 为周期性函数时, 其膜电压响应的形式。我们定义 $\kappa(s) = \frac{1}{C}e^{-\frac{s}{\tau_m}}$, 则输入电流引起的膜电压的响应可以写作:

$$u(t) = \int_0^{+\infty} I(t-s)\kappa(s)ds \quad (1.12)$$

它具有很漂亮的滤波器的形式, 可以看做是滤波器 $\kappa(s)$ 对输入电流 $I(t)$ 卷积。利用傅里叶变换 (Fourier transform) 可以得到其频域响应:

$$u(\omega) = I(\omega)\kappa(\omega) \quad (1.13)$$

现在我们考虑 $I(t) = I_0e^{i\omega t}$, 代入 1.12 可得:

$$\begin{aligned} u(t) &= \int_0^{+\infty} \kappa(s)e^{-i\omega s}ds I_0e^{i\omega t} \\ &= \kappa(\omega)I_0e^{i\omega t} \end{aligned} \quad (1.14)$$

考虑 $u(t) = u_0e^{i(\phi\kappa(\omega)+\omega t)}$, 那么其实部增益就可以写作:

$$\frac{u_0}{I_0} = |\kappa(\omega)| = \int_0^{+\infty} \kappa(s)e^{-i\omega s}ds = \frac{1}{C} \left| \frac{\tau_m}{1 + i\omega\tau_m} \right| \quad (1.15)$$

由于 $\omega\tau_m \gg 1$, 因此增益约等于 $\frac{1}{C\omega}$ 。因此, 其电压增益和输入频率成反比。下面我在 python 中试验一下嘿嘿。利用 Brian2 开源包构建 LIF 模型, 频率从 50Hz-500Hz, 我们观察其 spike 的次数。可以看到, spike 次数随频率增加有减少的趋势, 一定程度上验证了上面的增益公式。

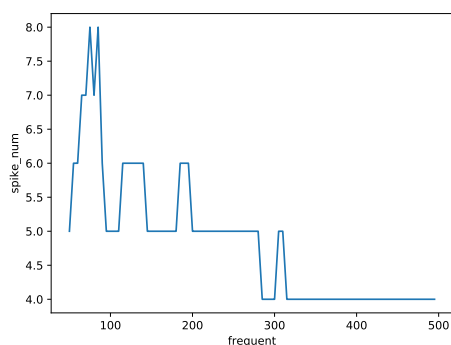


图 1.5: 增益和频率的关系图

1.3 LIF 模型的局限性

我们介绍几种生物学上常见的神经元并以此阐述 LIF 模型的局限性。如下图所示：

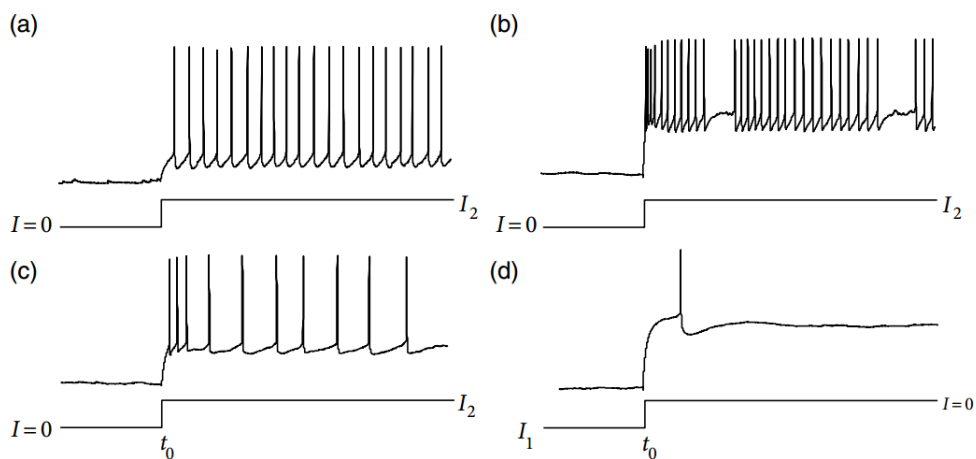


图 1.6: 四种神经元

图 (a) 所示就是 LIF 模型的神经元，对于一个持续的电流输入，由于神经元在每一次 spike 时都会重置为 u_r ，因此输出的 spike 序列是一个周期性

的序列, 这一类神经元也被称为**快速神经元 (fast-spike neurons)**。图 (b) 所示的神经元叫做**突发口吃神经元 (bursting and stuttering neurons)**, 它的特点是针对一个持续的电流输入, 在一段时间内表现出周期性的输出, 又非周期的出现一段长时间的不应期。图 (c) 所示的神经元叫做**适应性神经元 (adaptation neurons)**, 与快速神经元不同, 它具有适应性, 它会积累输入的变化, 在一段时间后变成稳定的脉冲输出。最后一种是**抑制后反弹神经元 (post-inhibitory rebound neurons)**, 它会在输入停止后出现一个尖峰脉冲。上述的神经元在后面的章节中会做进一步讨论。

1.4 总结

由此, 我们得到了神经元膜电压的积分方程, 以及脉冲发射的方程。

$$\tau_m \frac{du(t)}{dt} = -[u(t) - u_{rest}] + RI(t) \quad (1.16)$$

$$\text{If } u(t) = \vartheta \text{ then } \lim_{\delta \rightarrow 0; \delta > 0} u(t + \delta) = u_r$$

这个方程很简洁, 也很好。但是在实际的神经元实验中, 神经元会出现不应期 (refractory) 和适应性 (adaptation)。不应期好处理。适应性考虑如下办法: 每输出一个脉冲, 给阈值 ϑ 加一个小量, 当输出脉冲为零 (即静止状态时), 阈值 ϑ 衰减为初始值。仿照电路响应的微分方程, 可以得到如下形式:

$$\tau_{\text{adapt}} \frac{d}{dt} \vartheta(t) = -[\vartheta(t) - \vartheta_0] + \theta \sum_f \delta(t - t^f) \quad (1.17)$$